

A03 班

タウ・シフトンの物理

研究課題

(1) タウ data 解析

(Belle $\sigma(e^+e^- \rightarrow \tau^+\tau^-) = 0.9 \text{ nb}$)

$B\bar{B} = 1.05 \text{ nb}$

(2) 新粒子識別装置

TOP counter の R&D

研究組織



τ data 解析中

Belle $\sim 90 \text{ fb}^{-1} \equiv 80 \text{ M } \tau\text{-pairs}$
世界最大の data 量

- (1) τ の EDM (CPV in lepton sector) 解析! 为大

- (2) $\tau \rightarrow \mu \gamma$ (LFV = BSM search) } 解析終了 为大
- (3) $\tau \rightarrow \mu K_s, 3 \text{ leptons}$ (LFV = BSM search) } 論文作成中 北大
- (4) $\tau \rightarrow \mu \eta, \mu \pi^0$ (LFV = BSM search) 解析最終段階 为大
- (5) $\tau \rightarrow \pi \pi^0 \nu$ (anomalous mag. moment) 解析中 全良甘

- (6) $\tau \rightarrow K \pi^0 \nu$ の CPV search ing 全良甘
- (7) $\tau \rightarrow 2 \pi \nu$ (2nd class current) ing 为大
- (8) ρ の MDM 理論計算 为大
- (9) $e^+ e^- \rightarrow \mu \tau$ 解析中 为大



2002
能の推移

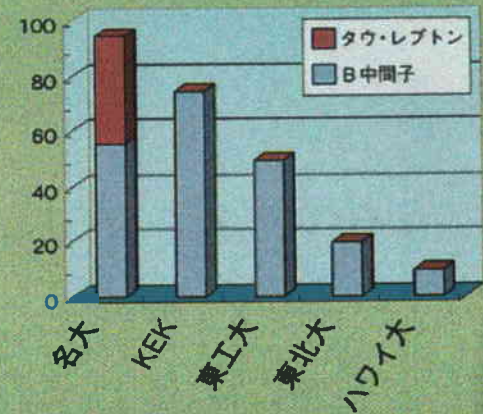
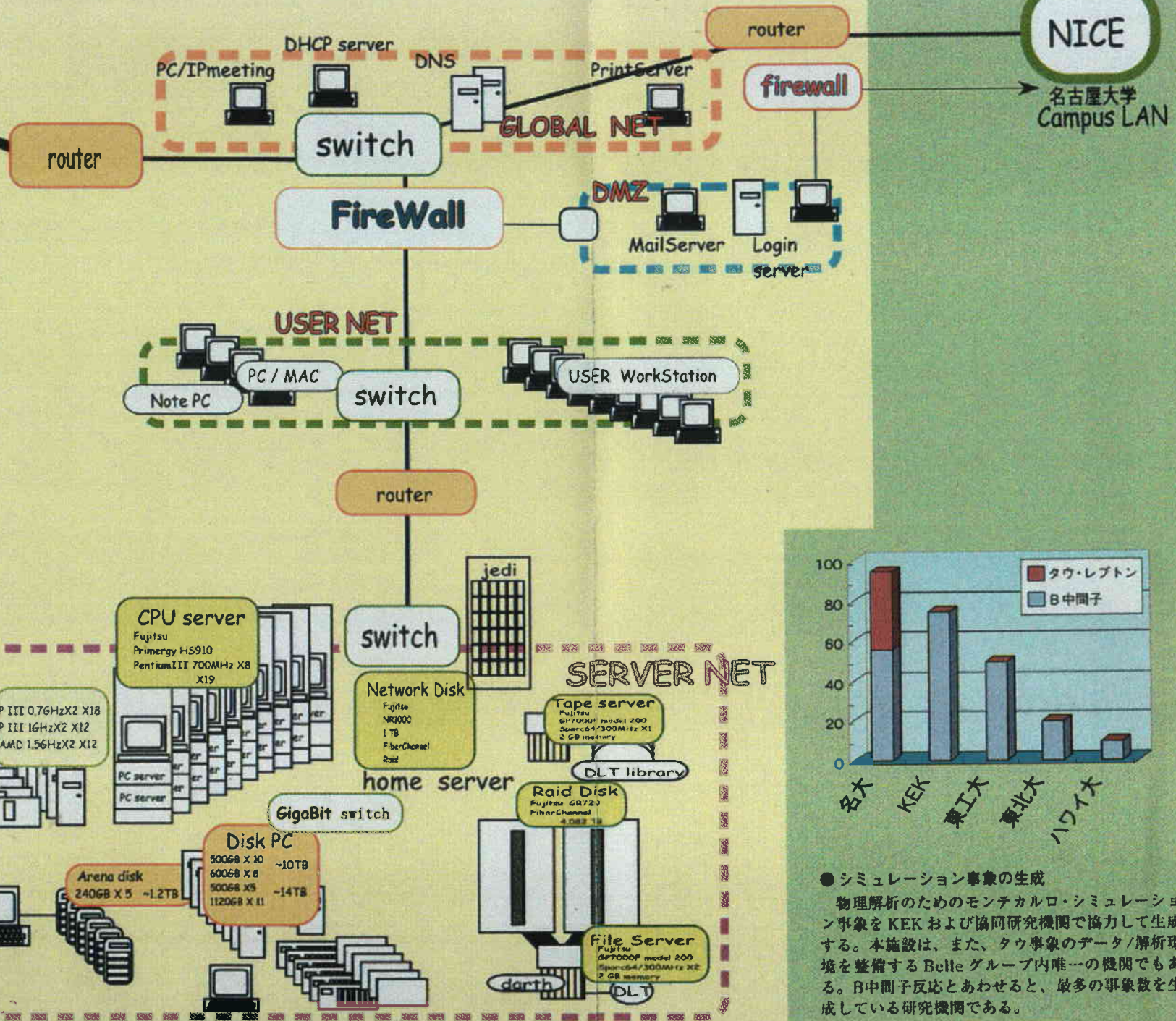
に凌ぐ膨大な量であ
のでは早期に物理成
ク網を用いた SINET
ネットワーク；最大性能
実上不可能であった。
の登場によりデータ
扱おうと同等の高速
り、最初にギガビッ
有用性を確認した。

共に増大する
増え続けている

比べ100分の
による輸送を
、一部の緊急
だが、SINET
ため主力は磁
線の開通以来、
となり、データ
った。

有をおこない
Belle 実験の

GigaBit switch



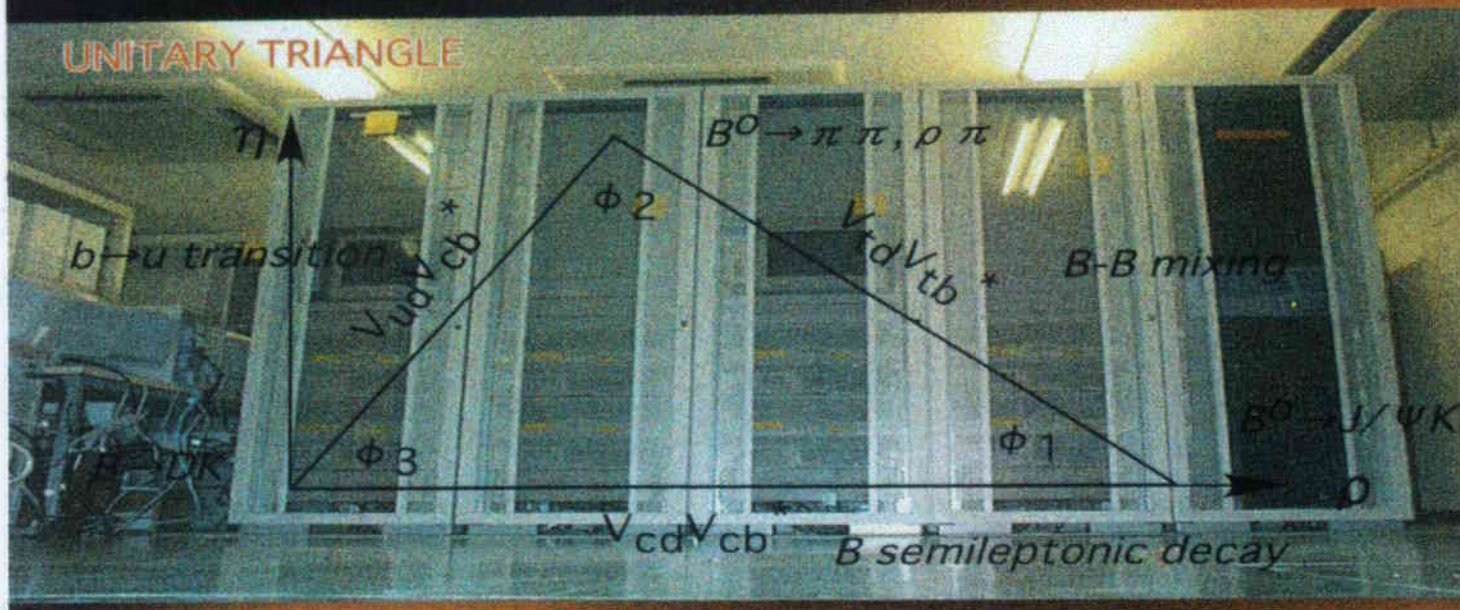
●シミュレーション事象の生成
物理解析のためのモンテカルロ・シミュレーション事象をKEKおよび協同研究機関で協力して生成する。本施設は、また、タウ事象のデータ/解析環境を整備する Belle グループ内唯一の機関でもある。B中間子反応とあわせると、最多の事象数を生成している研究機関である。

名古屋大学大学院理学研究科
素粒子宇宙物理学専攻

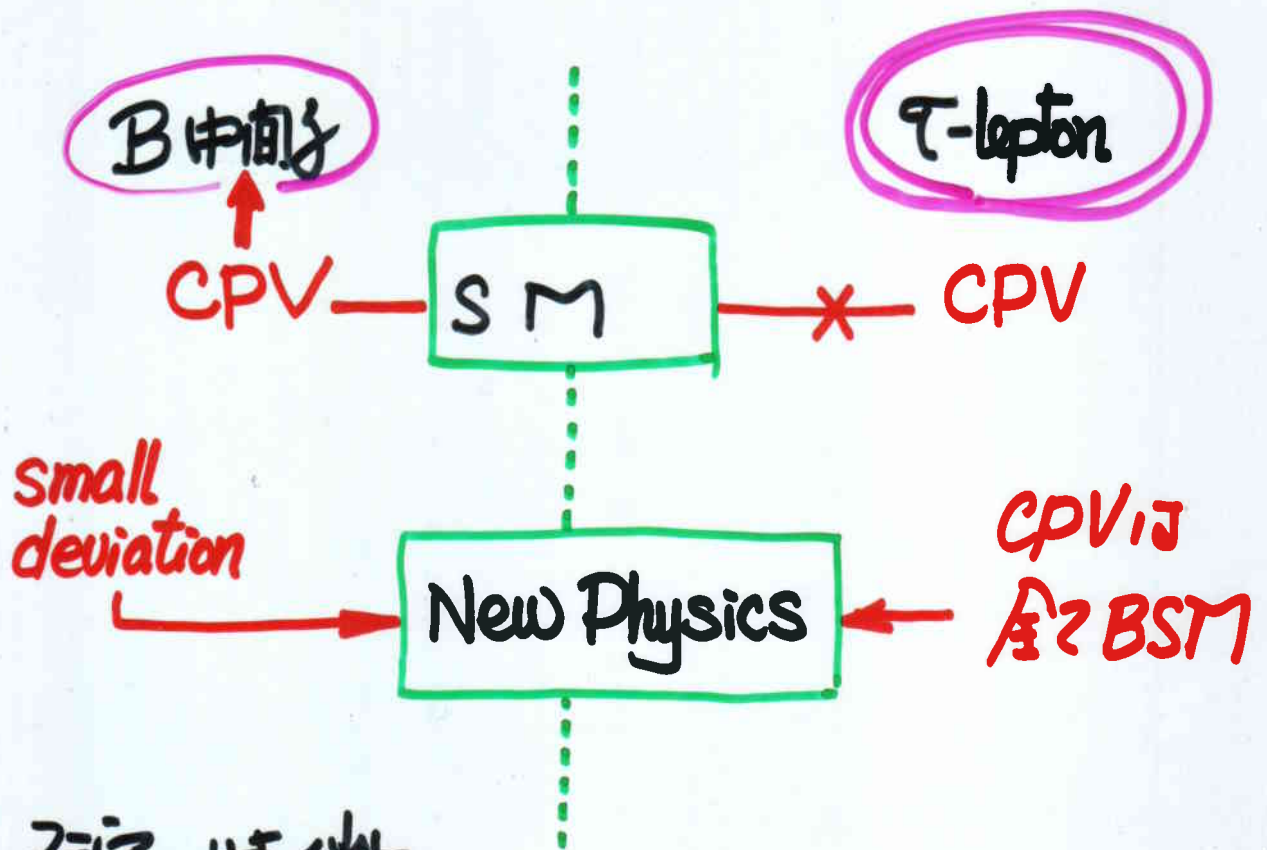
高エネルギー素粒子物理学研究室 (N研)

High Energy Physics Lab. (N研)

高エネルギー物理学 データ解析実験施設



(1) CPV in lepton sector



研究の特徴

- * 高精度の data の把握
- * Systematic error の理解と減少

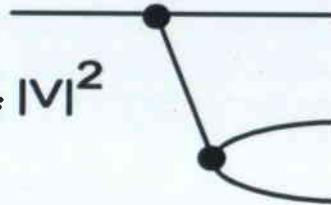
1. Tau Physics

τ -lepton

Heaviest lepton (point=structureless particle)
sensitive to new physics

semileptonic

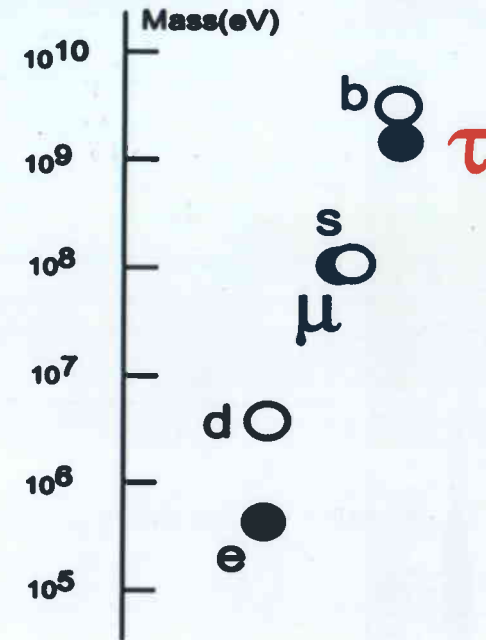
$$\Gamma_f = \alpha_w^2 \left(\frac{m_f}{m_W} \right)^4 m_f |V|^2$$



- Decay to various modes
- Unstable while e, μ = stable: high precise measurement

$$\tau_K = 12.4 \text{ ns}, \quad \tau_B = 1.7 \text{ ps},$$

$$\tau_\mu = 2.2 \text{ ns}, \quad \tau_\tau = 0.3 \text{ ps},$$



Beyond the SM

- New Physics \Rightarrow Rare phenomena \Rightarrow **High intensity**

$$\begin{pmatrix} u \\ d \end{pmatrix} \quad \begin{pmatrix} c \\ s \end{pmatrix} \quad \begin{pmatrix} t \\ b \end{pmatrix}$$

$$\begin{pmatrix} \nu_e \\ e \end{pmatrix} \quad \begin{pmatrix} \nu_\mu \\ \mu \end{pmatrix} \quad \begin{pmatrix} \nu_\tau \\ \tau \end{pmatrix}$$

Test of T/CP Invariance in $e^+e^- \rightarrow \tau^+ \tau^-$

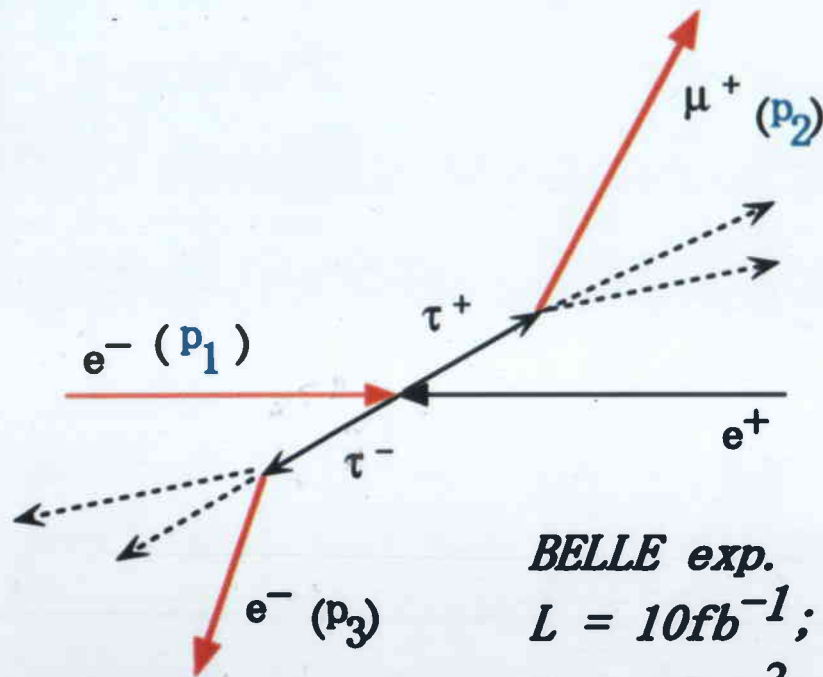
Test of T-invariance: EDM (n, e, atom), n β -decay, triple correlation (σ, p) of nucleon
 $P=\text{even}, T=\text{odd}$

● pure leptonic transition :

$\mu \rightarrow e \nu \nu$ (no violation, 2.3% : H. Burkard et al. PL 160B('85) 343.)

$$\langle \mathbf{A} \rangle = \langle \mathbf{p}_1 \cdot (\mathbf{p}_2^+ \times \mathbf{p}_3^-) \rangle \text{ in } e^+e^- \rightarrow \tau^+\tau^- ; \tau \rightarrow (\mu / e) \nu \nu$$

$p_i = \text{momentum unit-vectors}$



BELLE exp.
 $L = 10 \text{fb}^{-1};$
 $\delta = O(10^{-3})$

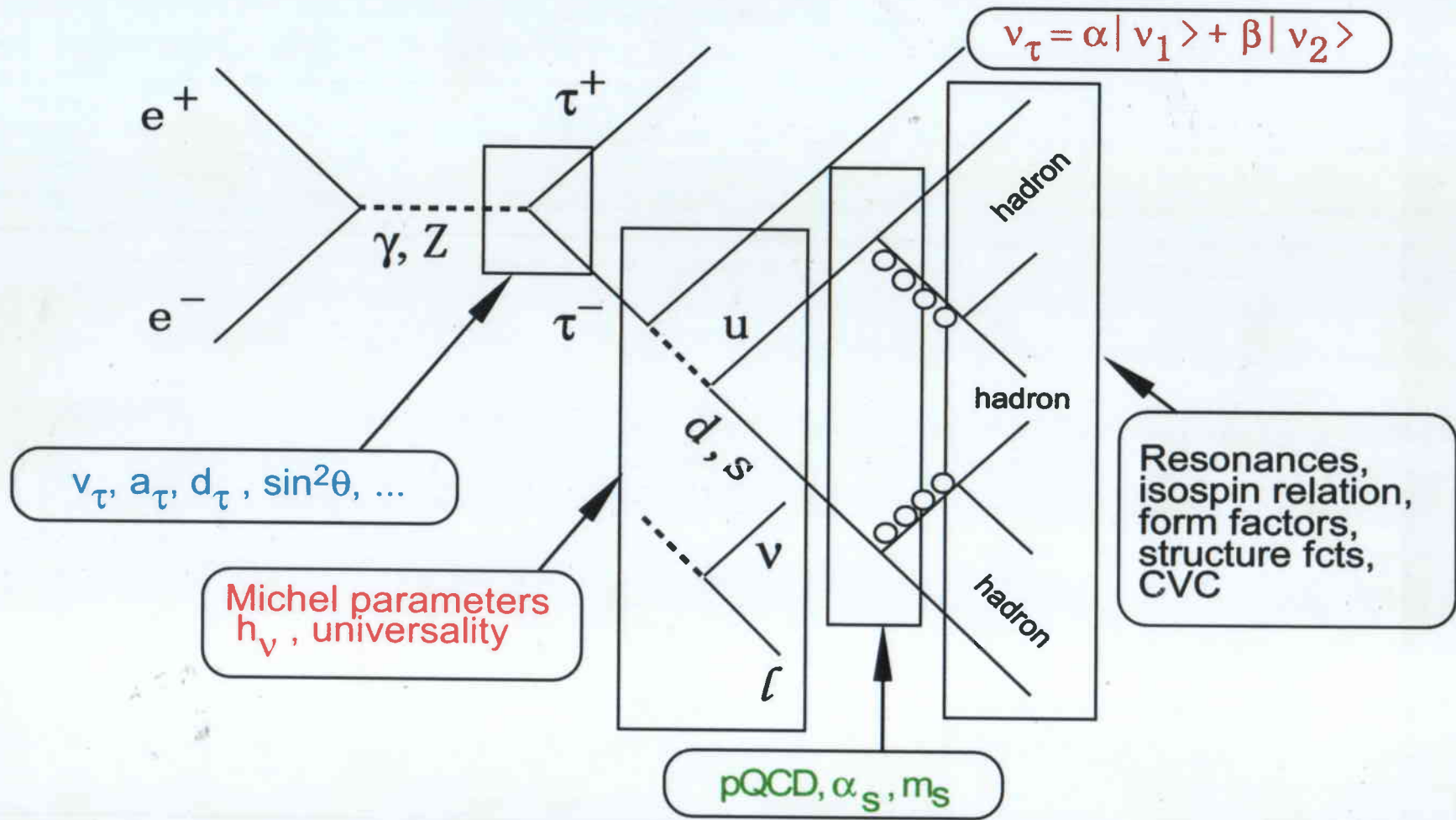
SM = no violation.

needs two interfering amp's with opposite CP phases.

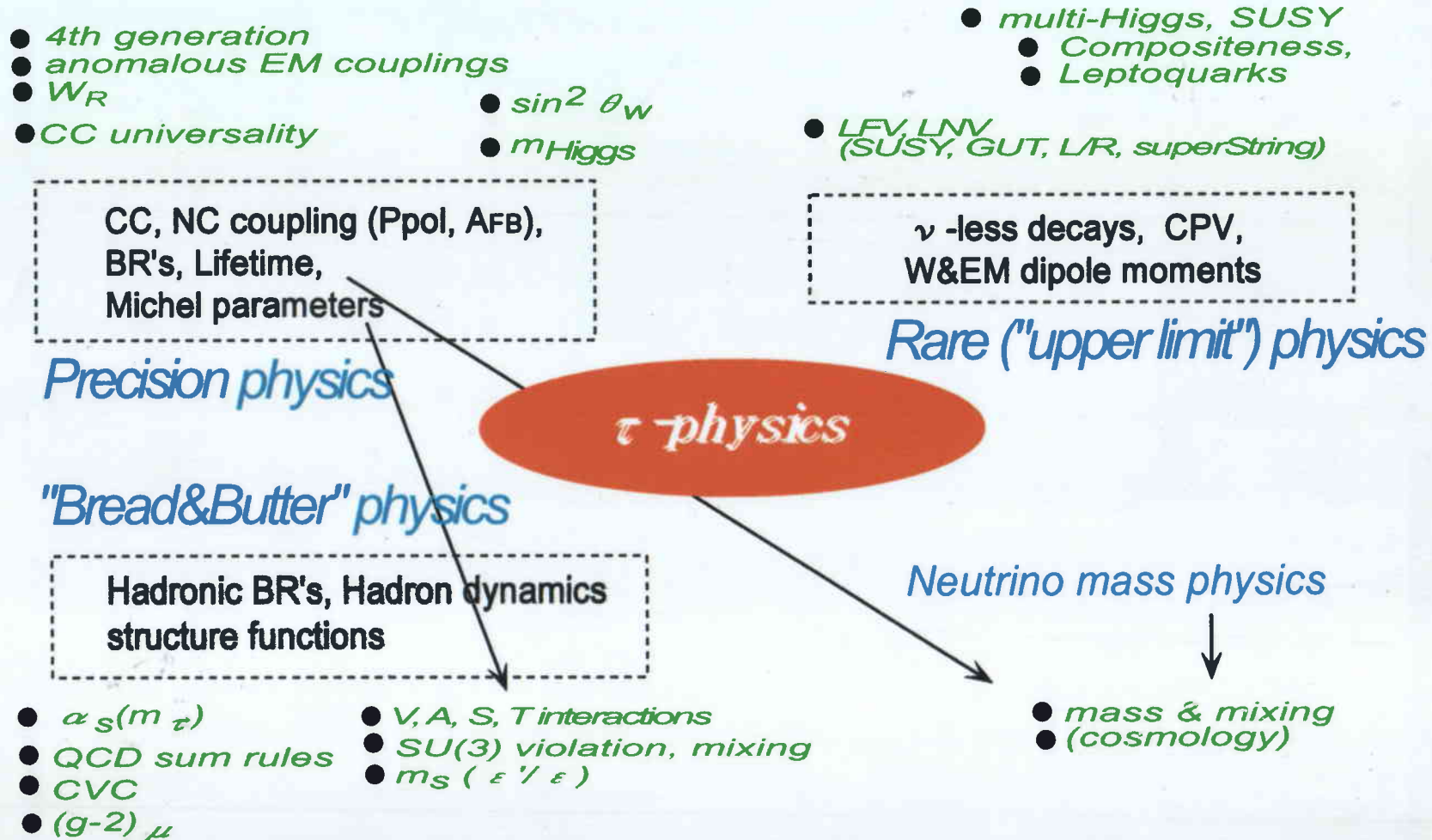
New Physics:

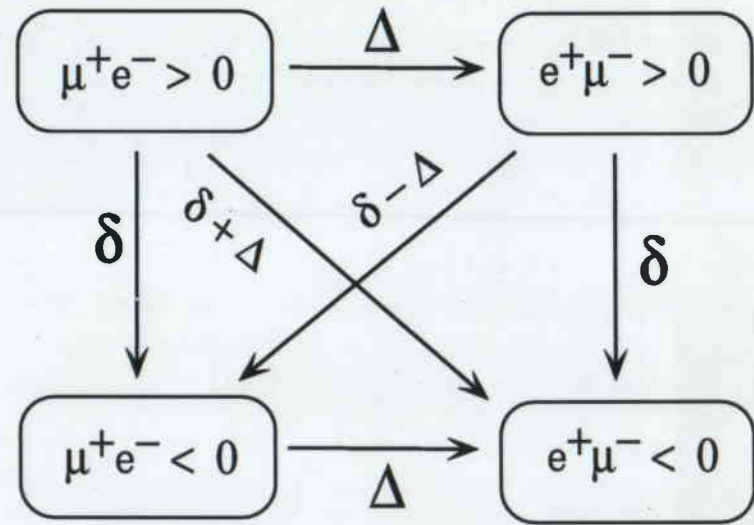
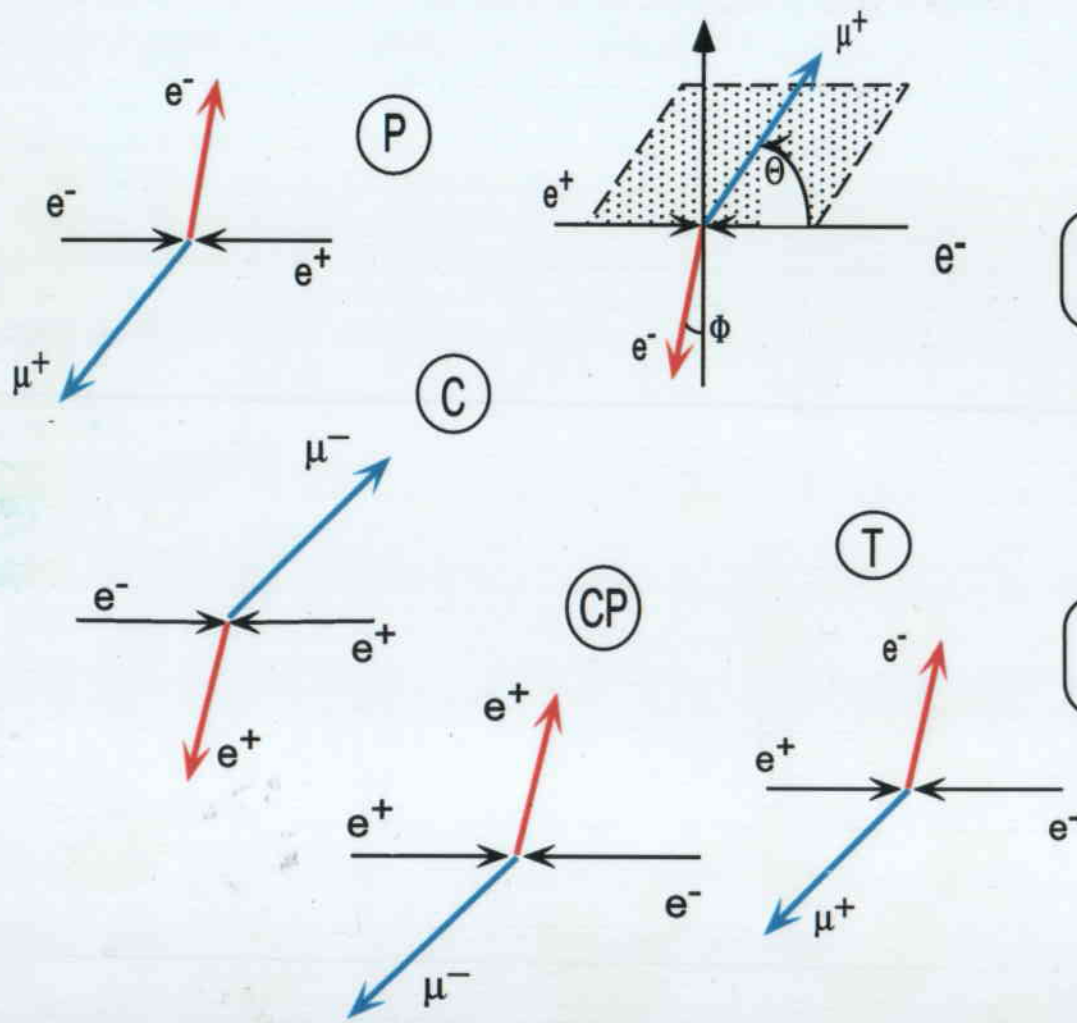
- leptonic CKM ($m_\nu \neq 0$) ;
- τ EDM ;
- multi-Higgs model ;
- scalar leptoquark model ;
- SUSY(R-parity conserving/violating) model ;
- Dirac/Majorana ν -mass

Tau lepton's Nutshell (by Kuhn)

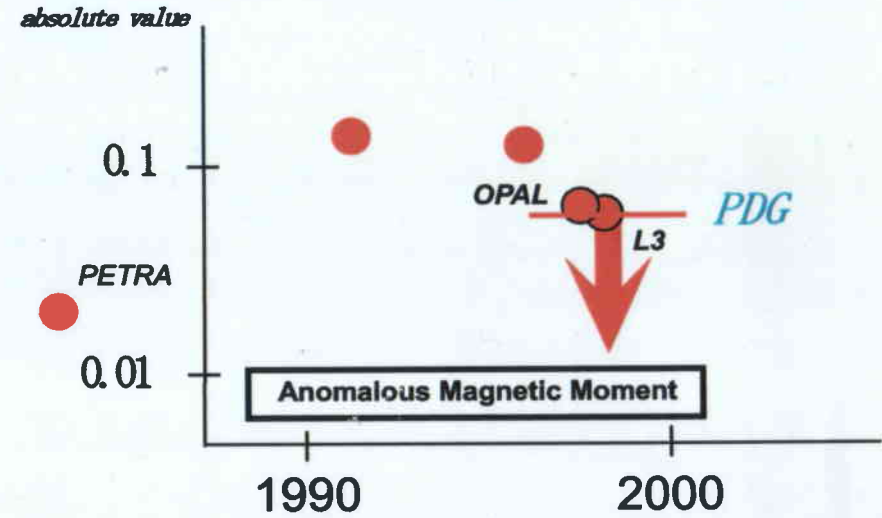
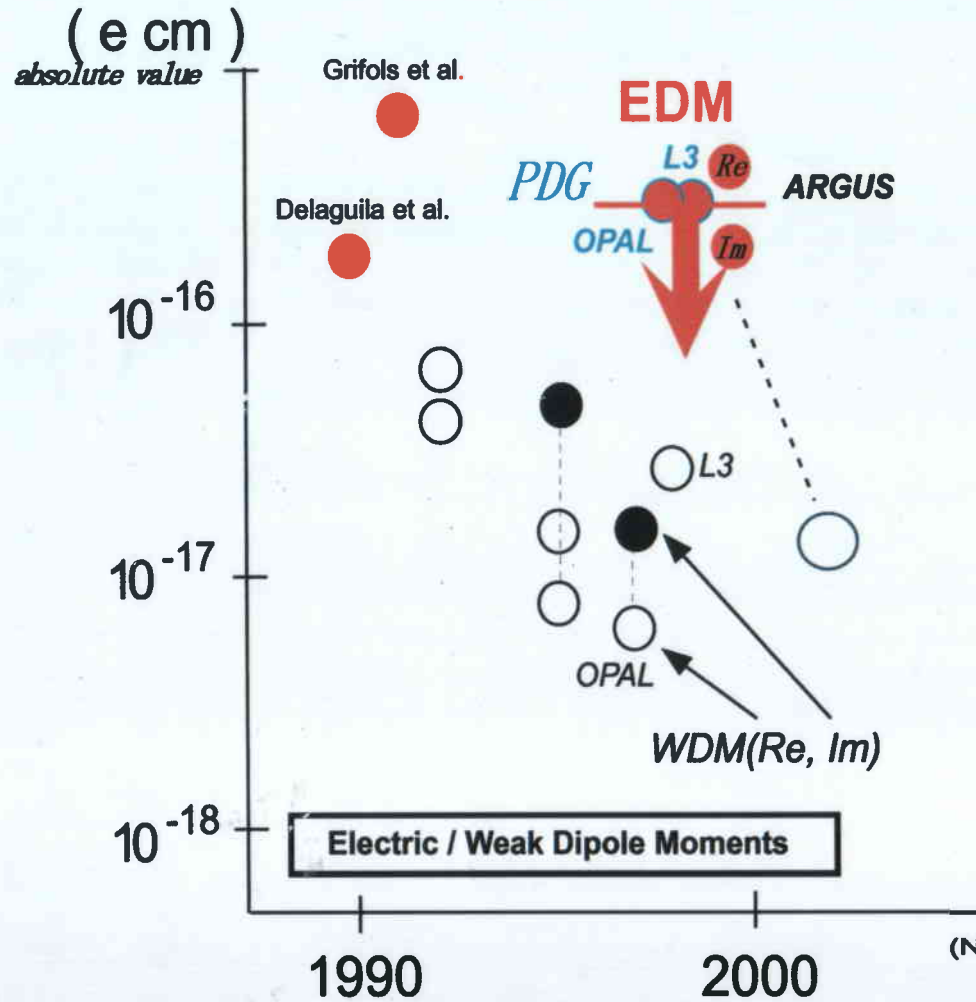


Prospective View of Tau Physics





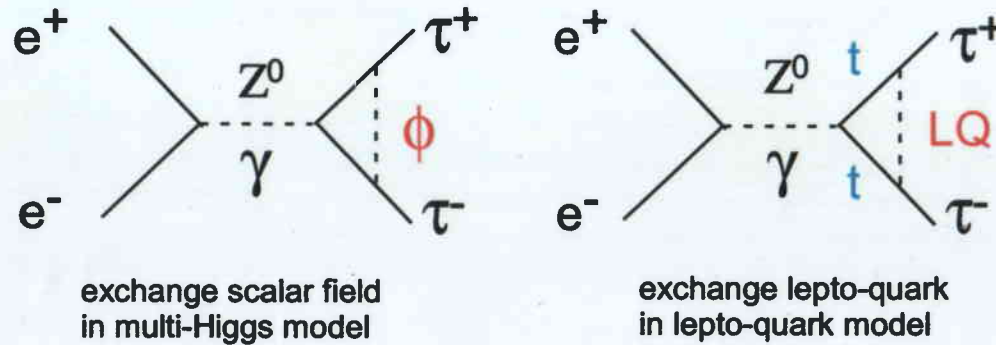
Experimental search on Tau's Moments (from PDG)



- PDG $|d_\tau| < 3.1 \times 10^{-16}$ ecm at 95% CL
- ARGUS $|\text{Re}(d_\tau)| < 4.6 \times 10^{-16}$ ecm
 $|\text{Im}(d_\tau)| < 1.8 \times 10^{-16}$ ecm
- Belle (Not official values)
 $|\text{Re}(d_\tau)| < 4.6 \times 10^{-17}$ ecm
 $|\text{Im}(d_\tau)| < 1.8 \times 10^{-17}$ ecm

- Search for new CPV interaction \Rightarrow parametrized by dipole form factor (EDM, WDM) \Rightarrow

Dipole moment interactions arise from quantum loop effects \Rightarrow introduce a mass dependent



multi-Higgs	m_τ^3	τ EDM 10^{-19} ecm
SUSY	m_τ	
lepto-quark	$m_t^2 m_\tau$	
Majorana ν	$m_\nu^2 m_\tau$	

- CPV Lagrangian : $L_{CP} = -\frac{i}{2} \tau \sigma^{\mu\nu} \gamma_5 \tau d_\tau(s) F_{\mu\nu}$

$$M = M_{SM} + Re(d_\tau) M_{Re} + Im(d_\tau) M_{Im} + |d_\tau|^2 M_d$$

$$M_{Re} \propto (\mathbf{S}_+ \times \mathbf{S}_-) \mathbf{k}_{\tau^+} \text{項} + (\mathbf{S}_+ \times \mathbf{S}_-) \mathbf{p}_{e^+} \text{項}; \quad M_{Im} \propto (\mathbf{S}_+ - \mathbf{S}_-) \mathbf{k}_{\tau^+} \text{項} + (\mathbf{S}_+ + \mathbf{S}_-) \mathbf{p}_{e^+} \text{項}$$

- Belle analysis

$$e^+ e^- \rightarrow \tau^+ \tau^- \rightarrow X^+ Y^-$$

(X; Y = e ν , $\mu\nu$, $\pi\nu$, $\rho\nu$, ...)

8 combinations = $\rho\rho$, $\pi\pi$, $\pi\rho$, $\mu\rho$, ρe , $\mu\pi$, $e\pi$, $e\mu$

1.2M events in total

$$O_{Re} = \frac{|M_{Re}|^2}{|M_{SM}|^2} \quad O_{Im} = \frac{|M_{Im}|^2}{|M_{SM}|^2}$$

Optimal observable method

Tau-pair event selection

Data

29.5 fb^{-1} at KEKB/Belle experiment $\rightarrow 26.8 \times 10^6$ τ -pairs

Event selection

select 8 final state modes exclusively

$\tau\tau \rightarrow e\mu 4\nu, e\pi 3\nu, \mu\pi 3\nu, e\rho 3\nu,$
 $\mu\rho 3\nu, \pi\rho 2\nu, \rho\rho 2\nu, \pi\pi 2\nu$
2 charged tracks, no γ except for π^0
Barrel region, high momentum track

e, μ, π : probability

e : purity 99%, eff. 92%

μ : purity 98%, eff. 91%

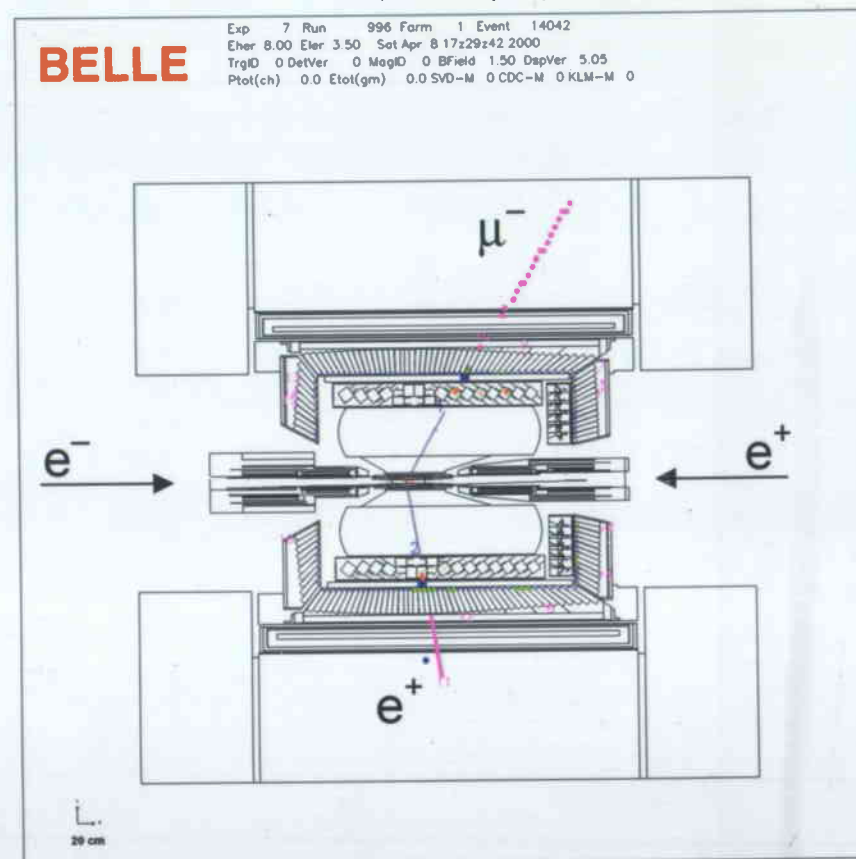
π : purity 89%, eff. 81%

$\rho^\pm : \rightarrow \pi^\pm \pi^0$

π^\pm : not (e, μ)

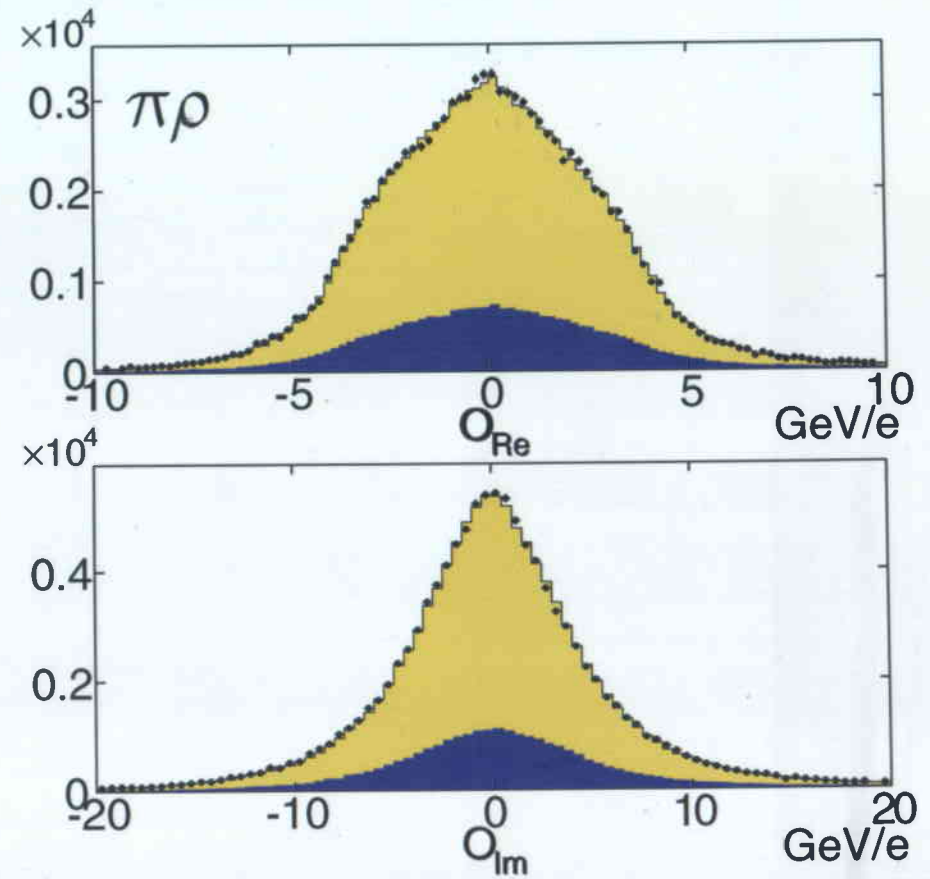
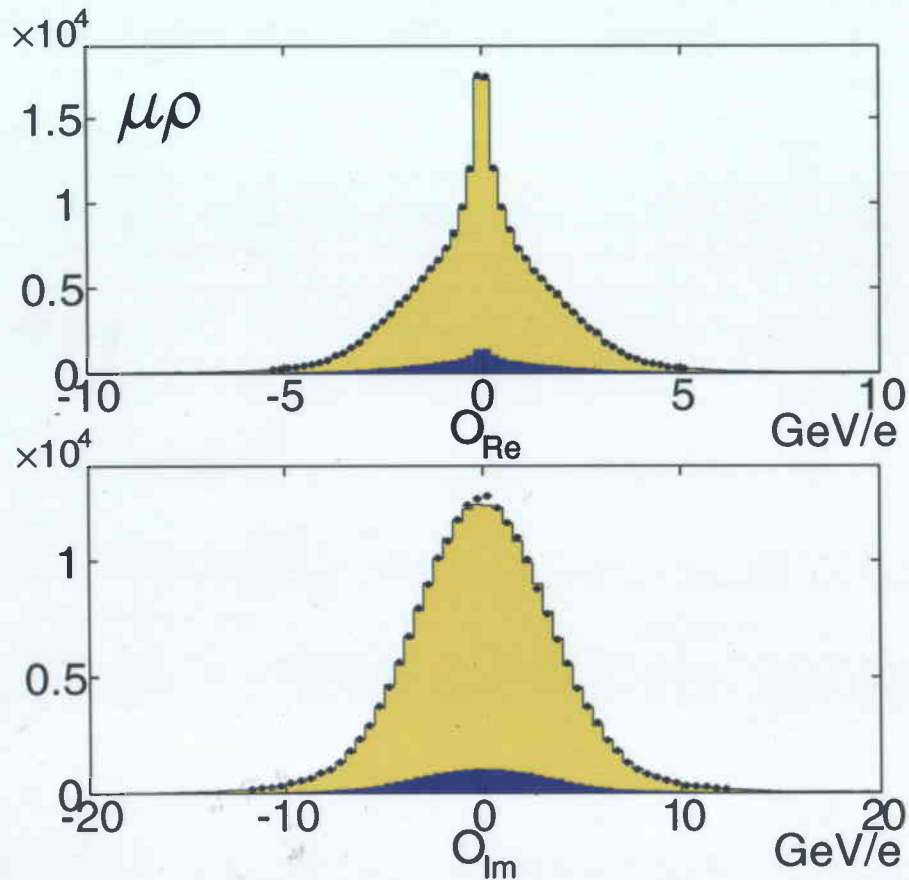
π^0 : $0.11 < M(\gamma\gamma) < 0.15 \text{ GeV}/c^2$

$e^+e^- \rightarrow \tau^+\tau^- \rightarrow e^\pm \mu^\mp + (4\nu)$ candidate



Observable distributions

● Exp. data ■ MC($d_\tau=0$) ■ MC background



- Good agreement btw. data and MC ($d_\tau=0$)

EDM vs. observable

Mean of observable is proportional to EDM.

$$\langle \mathcal{O}_{Re} \rangle \propto \int \mathcal{O}_{Re} d\sigma = \int \mathcal{M}_{Re}^2 d\phi + \text{Re}(d_\tau) \int \frac{(\mathcal{M}_{Re}^2)^2}{\mathcal{M}_{SM}^2} d\phi$$

In the experiment,

- detector resolution
- asymmetric acceptance
- initial radiation etc.

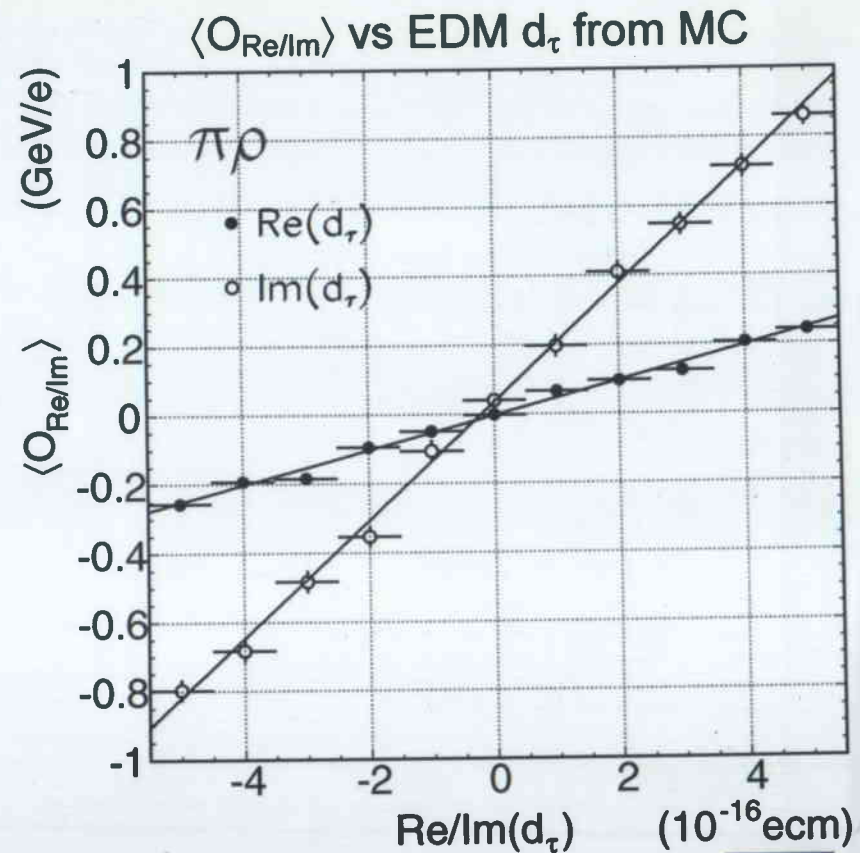
→ Offset and sensitivity shift



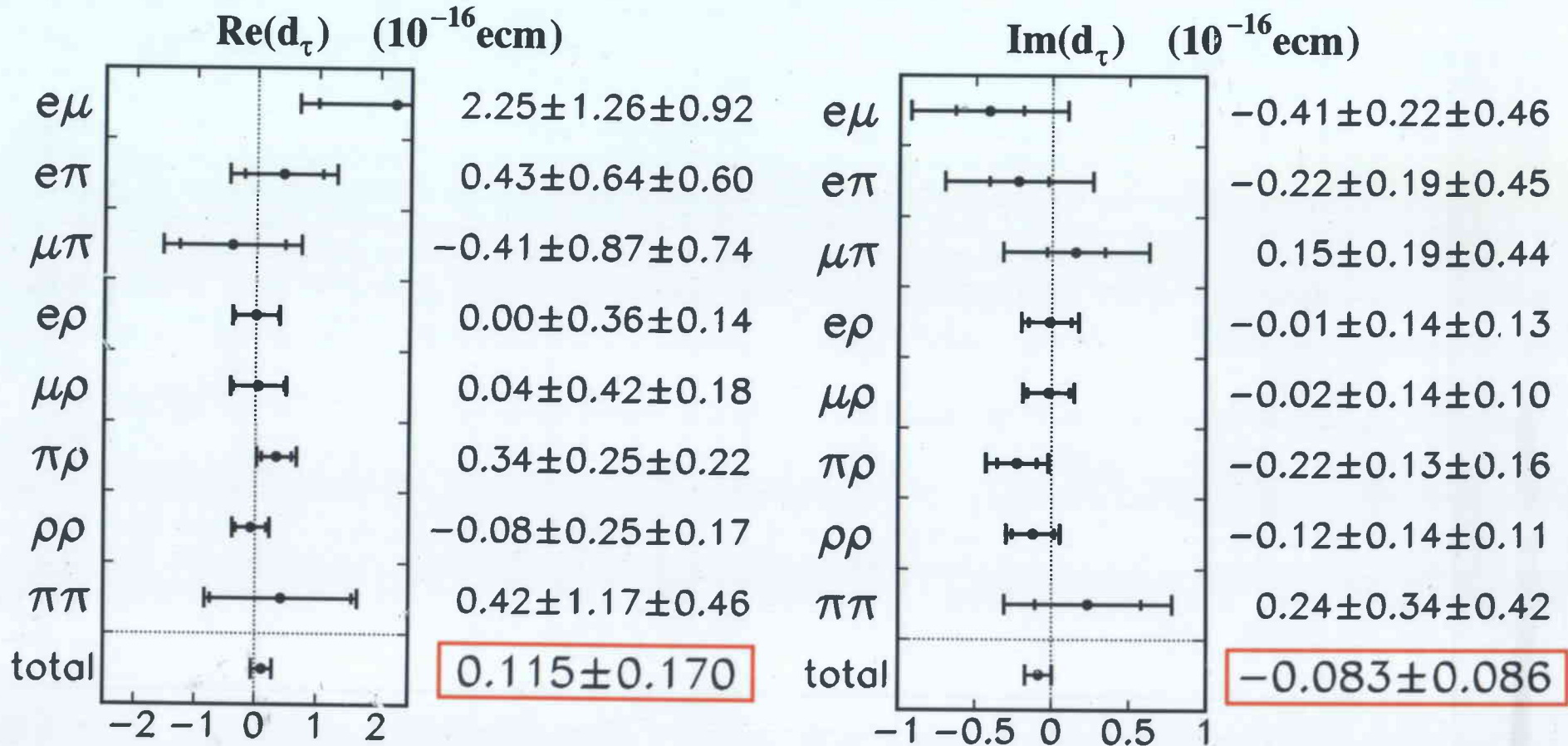
use full MC simulation

$$\langle \mathcal{O}_{Re} \rangle = a_{Re} \cdot \text{Re}(d_\tau) + b_{Re}$$

$$\langle \mathcal{O}_{Im} \rangle = a_{Im} \cdot \text{Im}(d_\tau) + b_{Im}$$



Result



- consistent with zero

Summary

Electric dipole moment of the tau lepton

- exclusively selected tau samples from 29.5fb^{-1} data
- **Optimal observable**
- Parameters (sensitivity, offset) are obtained from **full MC simulation**.

Result (preliminary)

$$\begin{aligned} \text{Re}(d_\tau) &= (1.15 \pm 1.70) \times 10^{-17} \text{ ecm} \\ \text{Im}(d_\tau) &= (-0.83 \pm 0.86) \times 10^{-17} \text{ ecm} \end{aligned}$$

- **Improvement by one order of magnitude**

95% C.L. limit :

$$\text{Belle : } -2.2 < \text{Re}(d_\tau) < 4.5 (\times 10^{-17} \text{ ecm}), \quad -2.5 < \text{Im}(d_\tau) < 0.9 (\times 10^{-17} \text{ ecm})$$

$$\text{LEP : } |d_\tau| < 3.1 \times 10^{-16} \text{ ecm}$$

$$\text{ARGUS : } |\text{Re}(d_\tau)| < 4.6 \times 10^{-16} \text{ ecm}, \quad |\text{Im}(d_\tau)| < 1.8 \times 10^{-16} \text{ ecm}$$